

Starkniederschlagshöhen und -spenden gemäß KOSTRA-DWD-2020

Rasterfeld 165132

(Zeile 165, Spalte 132)

Regenspende und Bemessungsniederschlagswerte in Abhängigkeit von Wiederkehrzeit T und Dauerstufe D

| Dauerstufe D | | Wiederkehrzeit T | | | | | | | | | | | | | | | | | |
|--------------|-----|------------------|------------|------|------------|------|------------|-------|------------|-------|------------|-------|------------|-------|------------|-------|------------|-------|------------|
| | | 1 a | | 2 a | | 3 a | | 5 a | | 10 a | | 20 a | | 30 a | | 50 a | | 100 a | |
| min | Std | mm | l / (s ha) | mm | l / (s ha) | mm | l / (s ha) | mm | l / (s ha) | mm | l / (s ha) | mm | l / (s ha) | mm | l / (s ha) | mm | l / (s ha) | mm | l / (s ha) |
| 5 | | 6,6 | 220,0 | 8,1 | 270,0 | 9,1 | 303,3 | 10,4 | 346,7 | 12,2 | 406,7 | 14,0 | 466,7 | 15,2 | 506,7 | 16,8 | 560,0 | 19,1 | 636,7 |
| 10 | | 8,7 | 145,0 | 10,7 | 178,3 | 12,0 | 200,0 | 13,7 | 228,3 | 16,1 | 268,3 | 18,5 | 308,3 | 20,1 | 335,0 | 22,2 | 370,0 | 25,3 | 421,7 |
| 15 | | 10,0 | 111,1 | 12,4 | 137,8 | 13,9 | 154,4 | 15,8 | 175,6 | 18,5 | 205,6 | 21,4 | 237,8 | 23,2 | 257,8 | 25,7 | 285,6 | 29,2 | 324,4 |
| 20 | | 11,1 | 92,5 | 13,6 | 113,3 | 15,2 | 126,7 | 17,3 | 144,2 | 20,4 | 170,0 | 23,5 | 195,8 | 25,6 | 213,3 | 28,2 | 235,0 | 32,1 | 267,5 |
| 30 | | 12,6 | 70,0 | 15,5 | 86,1 | 17,3 | 96,1 | 19,7 | 109,4 | 23,2 | 128,9 | 26,7 | 148,3 | 29,0 | 161,1 | 32,1 | 178,3 | 36,5 | 202,8 |
| 45 | | 14,2 | 52,6 | 17,5 | 64,8 | 19,6 | 72,6 | 22,3 | 82,6 | 26,2 | 97,0 | 30,2 | 111,9 | 32,8 | 121,5 | 36,3 | 134,4 | 41,2 | 152,6 |
| 60 | 1 | 15,5 | 43,1 | 19,1 | 53,1 | 21,3 | 59,2 | 24,3 | 67,5 | 28,5 | 79,2 | 32,9 | 91,4 | 35,7 | 99,2 | 39,5 | 109,7 | 44,9 | 124,7 |
| 90 | 1,5 | 17,4 | 32,2 | 21,4 | 39,6 | 24,0 | 44,4 | 27,3 | 50,6 | 32,0 | 59,3 | 37,0 | 68,5 | 40,2 | 74,4 | 44,4 | 82,2 | 50,4 | 93,3 |
| 120 | 2 | 18,9 | 26,3 | 23,3 | 32,4 | 26,0 | 36,1 | 29,6 | 41,1 | 34,8 | 48,3 | 40,1 | 55,7 | 43,6 | 60,6 | 48,2 | 66,9 | 54,7 | 76,0 |
| 180 | 3 | 21,1 | 19,5 | 26,1 | 24,2 | 29,2 | 27,0 | 33,2 | 30,7 | 39,0 | 36,1 | 45,0 | 41,7 | 48,9 | 45,3 | 54,0 | 50,0 | 61,4 | 56,9 |
| 240 | 4 | 22,9 | 15,9 | 28,3 | 19,7 | 31,6 | 21,9 | 36,0 | 25,0 | 42,2 | 29,3 | 48,7 | 33,8 | 53,0 | 36,8 | 58,5 | 40,6 | 66,5 | 46,2 |
| 360 | 6 | 25,6 | 11,9 | 31,6 | 14,6 | 35,4 | 16,4 | 40,2 | 18,6 | 47,3 | 21,9 | 54,5 | 25,2 | 59,3 | 27,5 | 65,5 | 30,3 | 74,4 | 34,4 |
| 540 | 9 | 28,7 | 8,9 | 35,4 | 10,9 | 39,6 | 12,2 | 45,0 | 13,9 | 52,9 | 16,3 | 61,0 | 18,8 | 66,3 | 20,5 | 73,3 | 22,6 | 83,3 | 25,7 |
| 720 | 12 | 31,1 | 7,2 | 38,3 | 8,9 | 42,8 | 9,9 | 48,7 | 11,3 | 57,3 | 13,3 | 66,1 | 15,3 | 71,8 | 16,6 | 79,3 | 18,4 | 90,2 | 20,9 |
| 1080 | 18 | 34,7 | 5,4 | 42,9 | 6,6 | 47,9 | 7,4 | 54,5 | 8,4 | 64,0 | 9,9 | 73,9 | 11,4 | 80,3 | 12,4 | 88,7 | 13,7 | 100,8 | 15,6 |
| 1440 | 24 | 37,6 | 4,4 | 46,4 | 5,4 | 51,8 | 6,0 | 59,0 | 6,8 | 69,3 | 8,0 | 80,0 | 9,3 | 86,9 | 10,1 | 96,0 | 11,1 | 109,1 | 12,6 |
| 2880 | 48 | 45,5 | 2,6 | 56,1 | 3,2 | 62,7 | 3,6 | 71,4 | 4,1 | 83,9 | 4,9 | 96,7 | 5,6 | 105,2 | 6,1 | 116,2 | 6,7 | 132,0 | 7,6 |
| 4320 | 72 | 50,8 | 2,0 | 62,7 | 2,4 | 70,1 | 2,7 | 79,8 | 3,1 | 93,7 | 3,6 | 108,1 | 4,2 | 117,6 | 4,5 | 129,9 | 5,0 | 147,6 | 5,7 |
| 5760 | 96 | 55,0 | 1,6 | 67,9 | 2,0 | 75,9 | 2,2 | 86,4 | 2,5 | 101,5 | 2,9 | 117,0 | 3,4 | 127,2 | 3,7 | 140,6 | 4,1 | 159,7 | 4,6 |
| 7200 | 120 | 58,5 | 1,4 | 72,2 | 1,7 | 80,7 | 1,9 | 91,8 | 2,1 | 107,9 | 2,5 | 124,4 | 2,9 | 135,3 | 3,1 | 149,4 | 3,5 | 169,8 | 3,9 |
| 8640 | 144 | 61,5 | 1,2 | 75,9 | 1,5 | 84,8 | 1,6 | 96,5 | 1,9 | 113,4 | 2,2 | 130,8 | 2,5 | 142,2 | 2,7 | 157,1 | 3,0 | 178,5 | 3,4 |
| 10080 | 168 | 64,2 | 1,1 | 79,2 | 1,3 | 88,5 | 1,5 | 100,7 | 1,7 | 118,3 | 2,0 | 136,5 | 2,3 | 148,3 | 2,5 | 163,9 | 2,7 | 186,2 | 3,1 |

Starkniederschlagshöhen und -spenden gemäß KOSTRA-DWD-2020

Rasterfeld 165132

(Zeile 165, Spalte 132)

Örtliche Unsicherheiten in Abhängigkeit von Wiederkehrzeit T und Dauerstufe D

| Dauerstufe D | | Wiederkehrzeit T | | | | | | | | |
|--------------|-----|------------------|-----|-----|-----|------|------|------|------|-------|
| | | 1 a | 2 a | 3 a | 5 a | 10 a | 20 a | 30 a | 50 a | 100 a |
| min | Std | ± % | ± % | ± % | ± % | ± % | ± % | ± % | ± % | ± % |
| 5 | | 12 | 13 | 13 | 14 | 15 | 15 | 16 | 16 | 17 |
| 10 | | 14 | 16 | 17 | 18 | 19 | 20 | 20 | 21 | 21 |
| 15 | | 16 | 18 | 19 | 20 | 21 | 22 | 23 | 23 | 24 |
| 20 | | 17 | 19 | 20 | 21 | 22 | 23 | 24 | 24 | 25 |
| 30 | | 18 | 20 | 21 | 22 | 24 | 24 | 25 | 25 | 26 |
| 45 | | 19 | 21 | 22 | 23 | 24 | 25 | 25 | 26 | 26 |
| 60 | 1 | 18 | 20 | 21 | 22 | 24 | 25 | 25 | 25 | 26 |
| 90 | 1,5 | 18 | 20 | 21 | 22 | 23 | 24 | 24 | 25 | 25 |
| 120 | 2 | 17 | 19 | 20 | 21 | 22 | 23 | 24 | 24 | 25 |
| 180 | 3 | 16 | 18 | 19 | 20 | 21 | 22 | 22 | 23 | 24 |
| 240 | 4 | 15 | 17 | 18 | 19 | 20 | 21 | 22 | 22 | 23 |
| 360 | 6 | 14 | 16 | 17 | 18 | 19 | 20 | 20 | 21 | 21 |
| 540 | 9 | 14 | 15 | 16 | 17 | 18 | 19 | 19 | 20 | 20 |
| 720 | 12 | 13 | 15 | 15 | 16 | 17 | 18 | 18 | 19 | 19 |
| 1080 | 18 | 13 | 14 | 15 | 15 | 16 | 17 | 17 | 18 | 18 |
| 1440 | 24 | 13 | 14 | 14 | 15 | 16 | 16 | 17 | 17 | 18 |
| 2880 | 48 | 14 | 14 | 14 | 15 | 15 | 16 | 16 | 16 | 17 |
| 4320 | 72 | 15 | 15 | 15 | 15 | 15 | 16 | 16 | 16 | 16 |
| 5760 | 96 | 16 | 15 | 15 | 15 | 16 | 16 | 16 | 16 | 16 |
| 7200 | 120 | 16 | 16 | 16 | 16 | 16 | 16 | 16 | 16 | 17 |
| 8640 | 144 | 17 | 17 | 16 | 16 | 16 | 17 | 17 | 17 | 17 |
| 10080 | 168 | 18 | 17 | 17 | 17 | 17 | 17 | 17 | 17 | 17 |

Parameter für abweichende T und D

Lokationsparameter ξ (Xi)

15,74109735

Skalenparameter α (Alpha)

5,12209098

Formparameter κ (Kappa)

-0,1

1. Koutsoyiannis-Parameter θ (Theta)

0,02458313

2. Koutsoyiannis-Parameter η (Eta)

0,72562633

Parameter für dauerstufenübergreifende Extremwertschätzung nach KOUTSOYIANNIS et al. 1998.

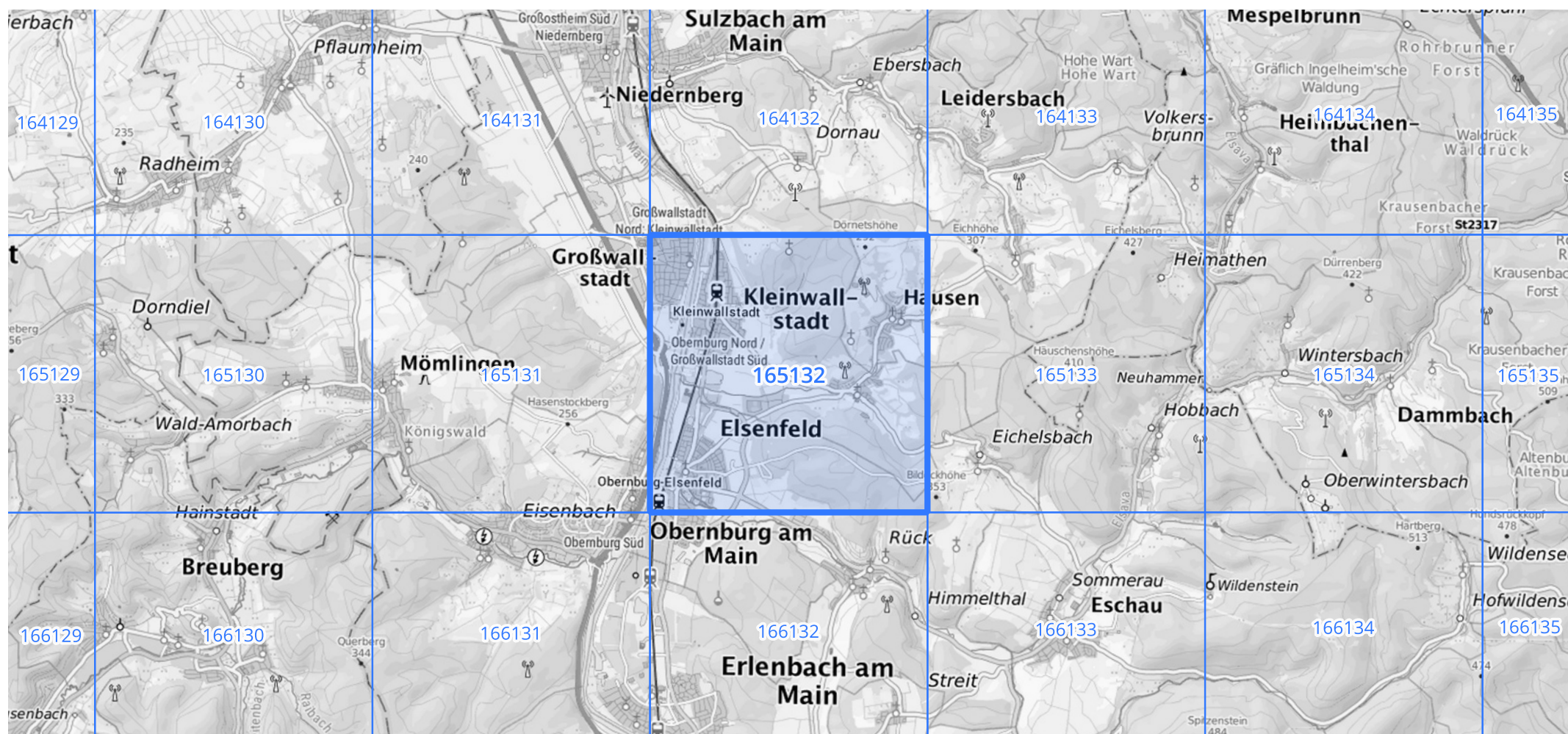
Siehe auch Anwendungshilfe zu KOSTRA-DWD-2020 des Deutschen Wetterdienstes.

Starkniederschlagshöhen und -spenden gemäß KOSTRA-DWD-2020

Rasterfeld 165132

(Zeile 165, Spalte 132)

Übersichtskarte des Rasterfeldes 165132, M 1 : 100 000



Quelle Rasterdaten: KOSTRA-DWD-2020 des Deutschen Wetterdienstes, Stand 12/2022.

Seite 3 von 3

Kartendarstellung: © Bundesamt für Kartographie und Geodäsie (2023), Datenquellen: https://sgx.geodatenzentrum.de/web_public/gdz/datenquellen/Datenquellen_TopPlusOpen.html

Für die Richtigkeit und Aktualität der Angaben wird keine Gewähr übernommen. Erstellt 01/2023.